

Б. У. БАЙШАШОВ



НЕОГЕННЫЕ
НОСОРОГИ
КАЗАХСТАНА



НАЦИОНАЛЬНАЯ АКАДЕМИЯ НАУК
РЕСПУБЛИКИ КАЗАХСТАН
ИНСТИТУТ ЗООЛОГИИ

Б. У. БАЙШАШОВ

НЕОГЕНОВЫЕ
НОСОРОГИ
КАЗАХСТАНА



АЛМАТЫ
«ГЫЛЫМ»
1993

УДК 569.722:551.782 (574)

Байшашов Б.У. Неогеновые носороги Казахстана.
Алматы: Гылым, 1993. - 148 с.

В книге впервые обобщены результаты исследований неогеновых носорогов Казахстана. Описываются десять видов из пяти родов и четырех подсемейств. Три вида являются новыми для науки, а два впервые установлены на территории Казахстана. Приведены некоторые морфофункциональные особенности неогеновых носорогов. Рассматриваются филогенетические взаимоотношения сем. *Rhinocerotidae* и возможности их использования для биостратиграфии.

Книга представляет интерес для палеонтологов, зоологов, систематиков, геологов-стратиграфов, краеведов.

Библиогр. 108 назв. Ил. 14. Табл. 28.

Ответственный редактор

кандидат биологических наук В.Ю.Решетов

ВВЕДЕНИЕ

Одной из наиболее распространенных в неогене и в то же время недостаточно изученных групп древних млекопитающих отряда *Perissodactyla* являются носороги - представители семейства *Rhinocerotidae*. В историческом развитии носороги демонстрируют многообразные адаптации к разным ландшафтно-климатическим условиям. Большинство форм носорогов вымерло и до нашего времени дожило всего 5 видов, относящихся к 4-м родам, из них 3 вида (*Dicerorhinus sumatrensis*, *Rhinoceros unicornis*, *Rhinoceros sondaicus*) - на юге Азии и 2 (*Ceratotherium simum*, *Diceros bicornis*) - в Африке. Из всех обитавших на земле носорогобразных (известных в настоящее время) это составляет примерно 5%, но и они находятся под угрозой исчезновения. Бурный расцвет развития самого многочисленного из цератоморфов и широко распространенного в прошлом семейства *Rhinocerotidae* происходил в неогеновое время. Около четверти всех палеонтологических остатков этих носорогов обнаружено в пределах Казахстана. Будучи характерными представителями кайнозойских фаунистических комплексов, они имеют важное значение при стратиграфическом расчленении континентальных отложений.

Обширная территория и географическое положение Казахстана способствовали интенсивному развитию многих форм неогеновых носорогов и служили узловым регионом, где проходили пути их миграций между Восточной и Западной Палеарктикой. Сведения о неогеновых носорогах Казахстана приводились в отдельных статьях, в основном описательного

Б 190400000С-059 72.91
407(05) - 93
ISBN 5-628-00927-X

(С)

Байшашов Б.У., 1993

характера, в периодических изданиях и сборниках. Предлагаемая монография является первой обобщающей работой по неогеновым носорогам Казахстана, основой для написания которой послужили коллекционные материалы лаборатории палеобиологии и музеев природы Института зоологии НАН РК и Павлодарского педагогического института. Автором исследовано более 2000 костей, принадлежащих представителям 4-х подсемейств: *Aceratheriinae* Dollo, 1885; *Teleoceratinae* Hay, 1902; *Dicerorhininae* Simpson, 1945; *Elasmotheriinae* Dollo, 1885.

Костные остатки неогеновых носорогов Казахстана коллекционировались в лаборатории палеобиологии Института зоологии НАН РК в течение многих лет (с 1946 г.). Основная их часть, особенно черепа и челюсти, собрана автором во время полевых работ 1971-1984 гг. Вследствие этого стало возможным привести монографическое исследование по уточнению систематической принадлежности некоторых групп неогеновых носорогов, изучению их морффункциональных особенностей и реконструкции палеопанцирной обстановки того времени.

Палеонтологические остатки носорогов встречаются почти во всех неогеновых отложениях Казахстана (рис. 1).

В систематической части приведены диагнозы каждого исследованного или известного в литературе вида, его геологический возраст и местонахождения, описание некоторых ранее неосвещенных костей скелета. На основе изученных материалов и с учетом литературных данных автор считает наиболее приемлемой (с некоторыми уточнениями) систематику, приведенную Е.И. Беляевой (1962). Изучены морффункциональные особенности некоторых костей скелета и возможные филогенетические связи отдельных групп внутри семейства, а также их стратиграфическое значение. Результаты исследования могут быть полезны при изучении общих вопросов систематики, морфологии, практической геологии и континентальных отложений неогена Казахстана.

Работа выполнена в лаборатории палеобиологии Института зоологии НАН РК под общим руководством доктора биологических наук Е.Л. Короткевич.



Условные обозначения:
— верхний плиоцен
— средний плиоцен
— нижний плиоцен
— верхний миоцен
— средний миоцен
— нижний миоцен

Рис. 1. Местонахождения неогеновых носорогов на территории Казахстана: 1 - Гусинский перелег; 2 - Малый Калкаман; 3 - канал Иртыш-Караганда; 4 - колхоз „Кенес“; 5 - Карабастуз; 6 - Женама; 7 - Кзылсу; 8 - Караганда; 9 - Аягуз; 10 - Боталинский; 11 - Есекарткан; 12 - Бала-Кундызы; 13 - совхоз „Нурийский“; 14 - совхоз „Молдекинский“; 15 - р. Токрау; 16 - село „Джевер“; 17 - Кулан-Улес; 18 - р. Кедей; 19 - село „Ильинка“; 20 - Селим-Джевер; 21 - Тулькисай; 22 - Кушук; 23 - Турмез; 24 - Ойсымкеря

Принятые в работе элементы верхних и нижних коренных зубов приводятся по общепринятой терминологии, предложенной В.И.Громовой (1959), с некоторыми дополнениями Е.Л.Короткевич (1970) и автора. Элементы коренных зубов обозначены буквами русского алфавита независимо от происхождения термина (лат.-или рус.).

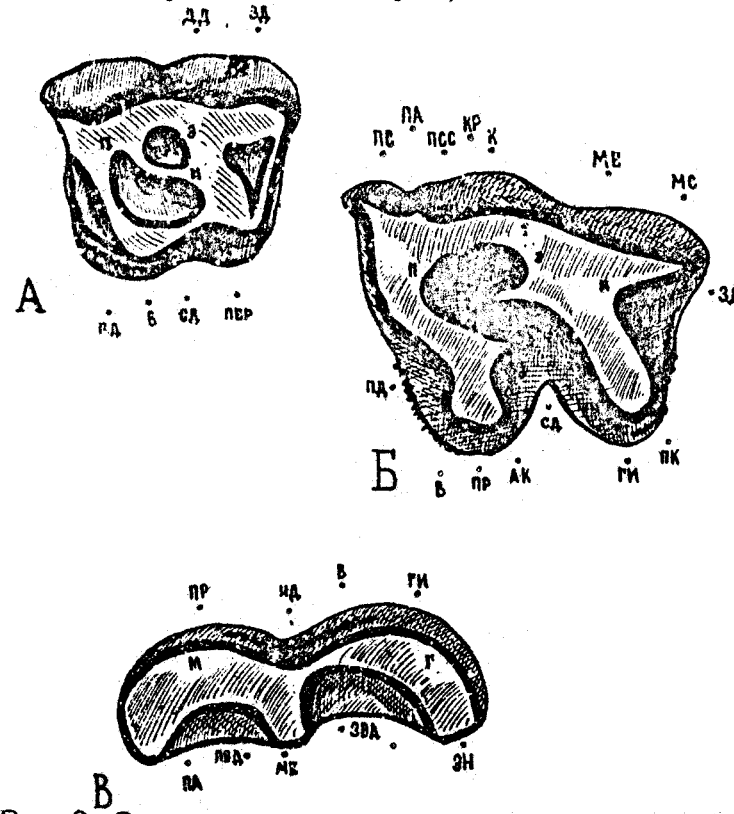


Рис. 2. Схема строения коренных зубов носорогов: А – верхний переднекоренной; Б – верхний заднекоренной; В – нижний заднекоренной (описание см. в тексте)

Обозначение элементов верхних коренных зубов (рис. 2, А, Б):

- э – эктсолоф (ectoloph)
- п – протолоф (protoloph)
- м – металоф (metaloph)
- па – паракон (paraconus)
- пр – протокон (protoconus)
- ме – метакон (metaconus)
- ги – гипокон (hypoconus)
- пд – передняя долинка (antesinus)
- сд – средняя – (medisinus)
- зд – задняя – (postsinus)
- дд – добавочная – (addisinus)
- а – антекроше (antecrochet)
- к – кроше (crochet)
- пк – посткроше (postcrochet)
- кр – криста (crista)
- пс – парастиль (parastyl)
- мс – метастиль (metastyl)
- пер – перемычка (crosspiece)
- псс – парастильная складка (parastylifold)
- в – воротничок (cingulum)

Обозначение элементов нижних коренных зубов (рис. 2, В):

- м – металофид (metalophid)
- г – гиполофид (hypolophid)
- па – параконид (paraconid)
- ме – метаконид (metaconid)
- пр – протоконид (protoconid)
- ги – гипоконид (hypoconid)
- эн – энтоконид (entocorid)
- пвд – передняя внутренняя долинка (antesinus)
- зда – задняя внутренняя долинка (postsinus)
- ид – наружная долинка (ectosinus)
- в – ворогничок (cingulum)

Измерение промеров костей и вычисление индексов приведены в основном по методике В.И.Громовой (1959).

При изучении морфофункциональных особенностей использовались методы F.E.Zeuner (1936), В.И.Громовой (1952), Б.А.Трофимова (1954), В.Г.Касьяненко (1959), Е.Л.Короткевич (1974б), В.И.Жегалло (1978), В.Ю.Решетова (1979).

Анатомическая терминология в работе приведена в соответствии с атласами F.E.Beddard (1889), И.А.Автократова (1928) и А.И.Акаевского (1962).

Автор искренне признателен сотрудникам Палеонтологического и Зоологического институтов РАН, а также институтов Зоологии АН Республики Украина и НАН РК за ценные советы и помощь при выполнении исследовательских работ и написании данной книги.

1. КРАТКАЯ ИСТОРИЯ ИЗУЧЕНИЯ НЕОГЕНОВЫХ НОСОРОГОВ КАЗАХСТАНА

Впервые костные остатки носорогов в неогеновых отложениях Казахстана (Чет-Иргиз, Актюбинская область) обнаружил М.М.Пригородский (1915) в 1911 г. Однако сведения об ископаемых остатках казахстанских риноцеротов впервые приведены в работе А.А.Borissiak (1927а), в которой описан новый вид *Aceratherium depereti* Boris. из нижнемиоценовых отложений р.Джиланчик (Кушук, Тургайская область). Из этого же местонахождения известны кости представителя рода *Brachypotherium* (Borissiak, 1927б).

В связи с открытием в 1930 г. Палеозоологического (позже переименованного в Палеонтологический) института РАН начались планомерные систематические поиски и палеонтологические раскопки остатков позвоночных на территории Казахстана, в результате которых выявлено множество местонахождений (Боярунас, 1936; Орлов, 1937; Борисяк, Беляева, 1948).

Основание в 1946 г. лаборатории палеобиологии при Институте зоологии (ИЗ) НАН РК ознаменовало качественно новый этап палеонтологических исследований в республике.

Говоря об изучении неогеновых носорогов в Казахстане, следует обратить внимание на систематические раскопки в районе Павлодара, проводимые с 1928 г. под руководством Ю.А.Орлова. В местонахождении "Гусиный перелет" вместе с остатками других неогеновых животных обнаружены и кости

Chilotherium sp. и *Sinotnerium* sp. (Орлов, 1930, 1930; Борисяк, Беляева, 1948; Бажанов, Костенко, 1962, Савинов, 1972; Беляева, 1975), первый из них упоминается еще и как *Chilotherium schlosseri* (Беляева и др., 1962). В ходе раскопок, проводимых сотрудниками лаборатории палеобиологии Института зоологии НАН РК в 1976 г., здесь был осуществлен дополнительный сбор преимущественно черепов, нижних челюстей и отдельных костей посткраниального скелета представителей рода *Chilotherium*. Изучение этого материала с учетом уже имеющегося позволило установить в составе неогеновой фауны существование нового вида *Chilotherium orlovi* (Байшашов, 1982).

В этом же районе из верхнемиоценовых отложений оз. Малый Калкаман (левобережье р.Иртыш) Ю.А.Орловым (1930) были выявлены кости носорогов рода *Aceratherium* и *Chilotherium* (Бажанов, 1955; Лавров, 1959; Лычев, 1963). После досбоя материала было уточнено систематическое положение первого из них, как *Aceratherium cf. gobiense* (Байшашов, 1983), а на основании качественно новых материалов, обнаруженных автором в 1984 г., этот носорог в данной работе описывается как *Aceratherium gobiense*.

В 1932 г. геолог И.И.Машкара в гипсонасных глинах урочища Алты-Гай на правом берегу рек Кулан-Утпас и Бала-Кундызы (приток р.Нура) (Карагандинская область) обнаружил fossильные кости млекопитающих. Пробные раскопки, проведенные здесь экспедицией РАН, под руководством Ю.А.Орлова в 1935 г. выявили гиппарионовую фауну, включающую неогеновых носорогов (Орлов, 1937). Однако эти местонахождения в палеонтологическом отношении бедны, а остатки носорогов в них единичны (фрагментарные остатки костей представителей рода *Chilotherium?* и *Aceratherium*). В 1969 и 1973 гг. геологи Центрально-Казахстанского территориального геологического управления (ЦКТГУ) Ю.Дмитровский и М.А.Авербух дополнительно провели сборы палеонтологических остатков на р.Бала-Кундызы, среди которых имеются и кости носорогов,

которые в результате изучения описываются нами как *Aceratherium cf. gobiense*.

Экспедиция Ю.А.Орлова в 1935 г. разработала также захоронение Тулькисай (Туль-Куль-Сай) Тургайской области, сведения о котором впервые были получены от Е.Д.Плыгина и М.С.Волковой в 1932 г. В результате раскопок (1971, 1974 гг.) местонахождения Тулькисай сотрудниками Института зоологии НАН РК наряду с парнокопытными (Абдрахманова, 1977) были собраны остатки носорога *Chilotherium cf. schlosseri* (Байшашов, 1977), позже переопределенного как *Chilotherium orlovi* (Байшашов, 1982).

В 1938 г. А.А.Борисиак (1938) описал зубы небольшого носорога из Бетпак-Далы, близкого к *Dicerorhinus* (*Rhinoceros*) *tagicus*.

Из плиоценовых отложений Селим-Джевар Целиноградской области и р.Женама Семипалатинской области известны кости *Rhinoceros* sp. (Борисяк, Беляева, 1948).

В 1952 г. ученики и преподаватели Аягуэской железнодорожной средней школы № 7 на правом берегу р.Аягуз, в 25 км от города вниз по течению обнаружили кости древних животных. Среди них определены из носорогообразных *Chilotherium cf. schlosseri* (Воробейчик, 1958). В основном кости здесь встречаются в лизах светло-зеленых глин протяженностью несколько сотен метров. Это местонахождение еще недостаточно изучено и хотя сохранность остатков ископаемых позвоночных плохая, оно привлекает внимание в связи с разнообразностью форм встреченных здесь животных, которая, по-видимому, может быть объяснена перестоянием разных по возрасту слоев (эоцен - плиоцен).

В 1956 г. В.С.Бажанов и М.Д.Бирюков в низовьях р.Саты (правый берег; Кегенский район) обнаружили остатки разнообразных неогеновых млекопитающих, среди которых были и плохо определимые кости носорогов.

В 1959 г. в низовьях р.Сарысу, по левобережью сухого русла Боктыкарык, в мелкозернистом песке с бурьми пятнами ожелезнения В.В.Кузнецова нашел кости носорога, определенные как *Rhinoceros* gen.indet. (Бажанов, Костенко, 1962).

В 1961, 1964, 1966 и 1968 гг. сотрудники Палеонтологического института (ПИН) РАН проводили периодические раскопки местонахождения Калмакпай Зайсанской впадины. Здесь среди обнаруженных остатков млекопитающих (Борисов, 1963) Л.К.Габунией были определены кости носорогов, относящиеся к родам *Chilotherium* и *Sinotherium*. Продолженные здесь в 1981 г. сотрудниками Института зоологии НАН РК исследования дали многочисленный костный материал по позднегиппарийской фауне. В числе ее представителей нами описаны новые виды *Sinotherium zaisanensis* sp. nov. и *Chilotherium* sp. (Байшавов, 1986).

В 1964 г. геолог ИГН НАН РК Е.Д.Тапалов в эрозионном обрыве на левом склоне долины р.Ойсылара, в 4 км от фермы № 1 совхоза "Кудыкса" Новороссийского района Актюбинской области нашел кости носорога-хилотерия. В ходе палеонтологических раскопок этого местонахождения в 1973 г. экспедицией Института зоологии НАН РК дополнительно был собран значительный материал, в результате изучения которого систематическое положение этого носорога было определено как *Ch.cf. schlosseri* (Байшавов, 1976). В дальнейшем он был переопределен (на основании описания нового вида *Chilotherium orlovi* в Казахстане) и здесь описан как *Chilotherium cf.orlovi*.

Из нижнеплиоценовых отложений у совхоза "Молодежный" Осакаровского района Карагандинской области в 1964 г. сотрудники лаборатории палеобиологии Института зоологии НАН РК обнаружили также кости носорогов, отнесенные к *Ch.cf.schlosseri* (Кожамкулова, 1974). Этот хилотерий определен нами как *Ch.cf.orlovi*. Кроме того, фрагментарные остатки хилотериев различного геологического возраста известны из верхнемиоценовых-нижнеплиоценовых отложений у колхоза "Кенес" Павлодарской области (Лавров, 1959), долины рек Женама (30 км северо-восточнее пос.Георгиевка) и Кызылсу (30 км севернее того же поселка) Семипалатинской области (Савинов, 1960); из нижнеплиоценовых отложений р.Кедей и села Ильинка Целинградской области (Зинова, 1972); единичные кости ацера-

териев встречены в местонахождении Турме и у совхоза "Нуринский" Карагандинской области (Савинов, 1960).

В 1965 г. сотрудником ИГН НАН РК Б.Ж.Аубекеровым (1974) в 15 км восточнее ст.Калкаман, на отвалах канала Иртыш-Караганда, датируемых им как верхнемиоценовые, собраны кости носорогов, определенные нами как *Aceratherium cf.gobiense*.

В 1971 г. экспедицией ИЗ. НАН РК проводились раскопки местонахождения Карабастуз, расположенного в 80 км западнее Семипалатинска. Здесь вместе с многочисленными панцирями неогеновых черепах и остатками других парнокопытных (Абдрахманова, 1974) найдены и кости носорогов, относящиеся к роду *Dicerorhinus*.

В 1975 г. С.А.Несмейнов в районе пос.Курметы на правом берегу р.Чилик (Кегенский район Алматинской области) обнаружил кости неогеновых животных. При исследовании этого района нами установлено целое скопление костей неогеновых животных в местонахождении Бота-Мойнак (в 4 км западнее пос.Курметы). В 1977-1980 гг. экспедициями лаборатории палеобиологии Института зоологии НАН РК здесь собран богатый материал по неогеновым млекопитающим. Отсюда нами описан новый вид носорога *Dicerorhinus kurmetiensis* (Байшавов, 1983) ипервые установлен для Казахстана *Chilotherium anderssoni* (Тлеубердина, Байшавов, 1987), известный ранее из Китая (Ringstrom, 1924) и Киргизии (Тарасов, 1968).

Кости *Dicerorhinus orientalis* известны из среднеплиоценовых отложений местонахождения Есекарткан (Ec) (Тлеубердина, 1982).

2. СТРАТИГРАФИЧЕСКОЕ ПОЛОЖЕНИЕ ОСНОВНЫХ МЕСТОНАХОЖДЕНИЙ

Среди многочисленных местонахождений неогеновых носорогов целесообразно выделить основные, характеризующиеся наибольшими находками костных остатков как носорогов, так и других позвоночных и соответствующие определенному геологическому возрасту.

Местонахождение Кушук (N_1^1 , рис. 3^х) расположено на правом берегу р. Джиланчик у эзимовки Кушук в 10 км западнее поселка "Рахмет" Амангельдинского района Туркестанской области.

Соленосные глины, находящиеся в районе Кушука, геологами связываются с завершением развития рельефа в условиях тектонического покоя при прогрессировавшей засушливости климата. Местность достигла крайней выравненности и в бессточных котловинах стали отлагаться зеленые глины. Приведем краткое описание разреза (снизу вверх) отложений местонахождения Кушук (рис. 4).

1. Сиреневато-черная глина с обуглившимися кусочками древесины обнажается у самого уреза воды ... более 3 м.

2. Пестроцветная вязкая глина с красными, зелеными, сиреневыми и фиолетовыми оттенками, местами с пустынным загаром ... 2-3 м.

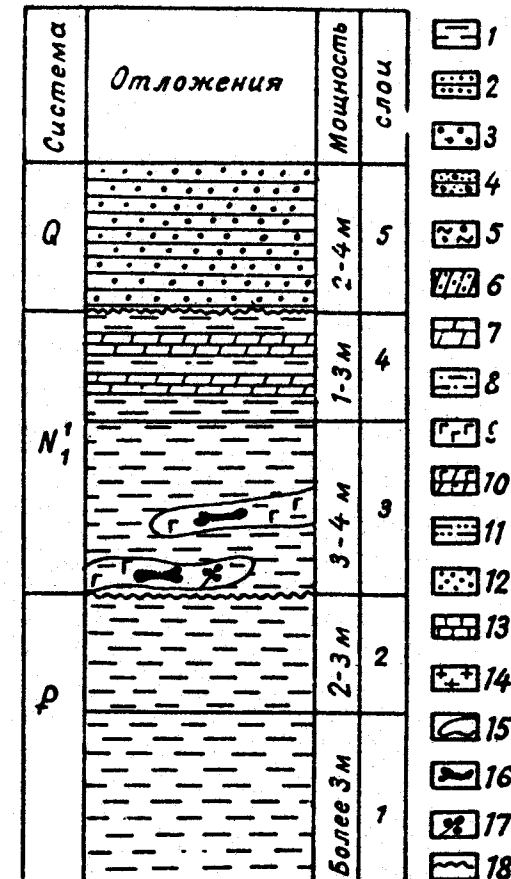
3. Серые, глинисто-алевритовые породы с ржавыми прослойками и насыщенными природными гипсами (особенно у костей) образуют плоские линзы с костными остатками и отпечатками гастрии ... 3-4 м.

Рисунки и таблицы, отмеченные звездочкой, см. на вклейке.

4. Плотная, зеленоватая глина с прослойками белых, крепких, мергелистых пород ... 1-3 м.

5. Мелкозернистый, слабосцементированный, пылеватый песчаник светло-коричневого цвета (представляющий четвертичные отложения) ... 2-4 м.

Рис. 4. Разрез отложений местонахождения Кушук (составлен по В.В.Лаврову (1959) с некоторыми изменениями автора). Условные обозначения к разрезам на рисунках 4, 8, 10, 13; 1 - глина; 2 - сцементированный песчаник; 3 - валунно-галечные материалы; 4 - песчаник с валунно-галечными материалами; 5 - суглинки с валунно-галечными материалами; 6 - супеси; 7 - мергель; 8 - алевритовые прослойки; 9 - гипс; 10 - известково-мергелистые конкреции; 11 - глинистые пески; 12 - пески; 13 - известняк; 14 - скальные породы палеозоя; 15 - линзы; 16 - костные остатки позвоночных; 17 - отпечатки растений; 18 - граница слоев (приблизительно)



По сохранности костей кушукское захоронение следует считать одним из самых редких, где кости не подвергались или почти не подвергались транспортировке (Байшаев, 1988). Хотя кости скелета не в сочленениях, они анатомически близки и чаще принадлежат одной особи. По-видимому, живогенные погибли в прибрежных участках, где частично растаскивались хищниками и разлагались, а затем происходило затопление участка, где они оказались замурованными в толще глин. Сотрудники лаборатории палеобиологии Института зоологии НАН РК обнаружили здесь два почти полных скелета носорога асертерия.

Относительно геологического возраста отложения Кушук существуют разные мнения. Впервые костеносные породы Кушука М.М.Пригородский (1915) относил к болаттамской, индрикотериевской и углёносной свитам Тургая. По мнению А.Л.Яншина (1953), основной костеносный горизонт с подстилающей пестроцветной глиной следует считать наурзумской свитой, а верхнюю зеленую – аральской. А.К.Рождественский (1970) поддерживает А.Л.Яншина, но наурзумскую свиту, имеющую лишь местное распространение, он рассматривает в качестве подошвы аральской свиты, датируемой в пределах нижнего миоцене. В.В.Лавров (1959), изучая эти отложения, разделяет их на следующие основные этапы: 1) отложения, подстилающие костеносный горизонт (тургайская свита); 2) костеносная толща кушукских слоев; 3) налетающая зеленовато-серая глина аральской свиты; 4) буро-желтая супесь четвертичных отложений. Анализируя ряд фактов стратиграфической схемы, он предлагает помешать местные кушукские (или улу-джиланчикские) слои между индрикотериевой и аральской свитами. А.А.Бобоедова и В.А.Сахаров (1986) включают эти слои в терсекскую свиту, а их геологический возраст рассматривают в объеме верхней половины нижнего и среднего миоцене. Однако состав фауны местонахождения показывает возраст отложений только в пределах нижнего миоцене. Так, носороги *Aceratherium dererii* и *Brachypotherium aurelianense* var. *gailiti* (Борисяк, 1927а,б) по своему эволюционному развитию соответствуют раннемиоценовому возрасту.

Первый отличается от позднеолигоценового *A.aralense* большой моляризованностью переднекоренных зубов и лучшей выраженностью на них внутренних выступов прото- и метапофов. Представители рода *Brachypotherium* известны в основном из верхнеолигоценовых–нижнемиоценовых отложений Заладной Европы и миоцена Японии (Беляева, 1962). Кроме носорогов здесь обнаружены кости примитивных форм мастодонтов *Gomphotherium atavus* и *Serridentinus inopinatus* (Борисяк, 1933). По-видимому, влажный, теплый климат в начале неогенового периода с преимущественным лесным ландшафтом и озерно-речными ниемененностями в районе Центрального Казахстана способствовал развитию вышеуказанных теплолюбивых животных.

Все животные, обнаруженные в этом местонахождении – обитатели в основном лесного биотопа.

Местонахождение Малый Калкамак (МК) (N^{2-3} , рис.5*) расположено в 40 км юго-западнее Павлодара, у оз.Малый Калкамантуз.

В связи с разрозненностью материала и отсутствием хорошо прослеживающегося костеносного горизонта литологическая характеристика разреза не описана. Отложения зеленых глин, в которых приурочены костные остатки, рассматриваются в объеме калкаманской свиты (аральской свиты по Лаврову, 1959).

Ранее сотрудники лаборатории палеобиологии в данном захоронении выявили следующий фаунистический комплекс позвоночных: *Mastodon cf.borsoni*, *Hipparium sp.*, *Anchitherium aurelianense*, *Aceratherium sp.*, *Chilotherium sp.*, *Microstonyx major*, *Cervidae Antilopinae*, *Carnivora*, *Emydidae* и другие ближе не определимые формы (Лычев, 1963). По составу эта фауна носит смешанный характер (в отношении интерпретации ее возраста): одни формы (анхитерии) свидетельствуют о ее среднемиоценовом возрасте, другие (гиппарионы, микростониксы) – о более позднем, верхнемиоценовом. В ходе дальнейшего изучения обнаруженных остатков позвоночных Г.Ф.Лычев и П.А.Аубекерова (1971) описывают из этого местонахождения новый вид бобра *Asiacastor major*, а

также *Monosaulax savinovi*, ранее известного только из местонахождения у Петропавловска (правый берег р.Ишим). Их возраст датируется второй половиной миоцена. Кроме того, Л.Т.Абдрахманова (1973) отмечает здесь *Lagomeryx satensis*, описанного ей из верхнемиоценовых отложений местонахождения Саты в Кегенском районе. Однако следует отметить, что весь указанный выше материал собирался здесь с выветриваемой поверхности, поэтому не исключено, что кости могли быть переотложены и перемешаны.

В 1984 г. в результате дополнительных раскопок непосредственно из слоя нами были собраны кости анхитерия, мелких оленей, бобра, мастодонта и многочисленные остатки носорога *Aceratherium gobiense*. На основании состава этой фауны можно предположить, что возраст вмещающих отложений – конец среднего или начало верхнего миоцена (Байшашов, 1988; Тлеубердина, 1988).

Преобладающее большинство обнаруженной фауны – представители пониженных, лесных биогрупп.

Местонахождение Бота-Мойнак (БМ) (N_1^3 , рис. 6*, 7*) расположено на одноименном перевале (правый берег р.Чилик, в 4 км западнее пос.Курметы Кегенского района Алматинской области).

В межгорных впадинах (Каркаринская, Текесская) верхнеолигеновые отложения перекрыты конгломератами, мергелями, глинами и песчаниками, в которых встречаются остатки неогеновой фауны и флоры. Миоценовый ландшафт этих местах, по предположению Л.И.Хозацкого и В.В.Кузнецова (1963), характеризовался невысокими горами и значительными равнинными пространствами. Основное образование костеносных слоев в межгорных впадинах района Кунгей-Алатау происходило в условиях отложения озерных или дельтовых осадков, накапливающихся в результате усиления речного стока и соответственно размыва пород в области сноса, что было вызвано тектоническими явлениями (Бажанов, Пигулевский, 1955).

Приведем краткое описание разреза (снизу вверх) местонахождения с учетом прежних данных (Тлеубердина, Байшашов, 1987) (рис.8).

Рис.8. Разрез отложений местонахождения Бота-Мойнак (составлен совместно с В.Г.Коченовым)

Система	Отложения	Начало м.	Конец м.	Слои
	более 50		7
	20-30		6
	25-30		5
	20-25		4
	5-10		3
	30-35		2
P_2	+++ + + + + +			1

1. В подошве аллювиально-пролювиальных толщ неогеновых отложений расположено скальное ложе палеозоя, местами хорошо просматривающееся с обрыва р.Чилик.

2. Светло-коричневые, хорошо растворяющие в воде суглинки, насыщенные валунно-галечным материалом... 30-35 м.

3. Светло-серые, отдельные известково-мергелистые конкреции... 5-10 м.

4. Слабоокатанные валунно-галечные материалы с прослойками песка и сцепленных светло-серых глин... 20-25 м.

5. Коричнево-бурые, слоистые, при размокании вязкие глины с прослойками светлых мергелистых пород. Кости в слое встречаются в линзах, в основном в твердой мергелистой породе... 25-30 м.

6. Песчаник, сильно набитый хорошоокатанными валунно-галечными материалами... 20-30 м.

7. Коричнево-бурая, однородная глина, сходная с глиной костеносного горизонта (5)... более 50 м.

Темно-бурые глины санташской свиты, схожие с костеносным слоем рассматриваемого местонахождения в этом районе, ранее установлены на местонахождениях Саты и Чульядыр (Баженов, Костенко, 1958).

Следы окатанности материала не фиксируются, однако местами кости обломаны и деформированы (особенно крупные), суставы в естественных сочленениях встречаются крайне редко. Более крупные кости в основном приурочены к нижним костеносным слоям разреза, мелкие – расположены выше и часто покрыты тонким слоем твердой, светло-зеленой глины. По-видимому, кости переносились водой на небольшое расстояние и при сравнительно тихом течении. В результате палеонтологических работ, проведенных сотрудниками лаборатории палеобиологии ИЗ НАН РК в 1977-1980 гг., выявлена гиппарионовая фауна. В ее составе установлено два вида чесорогов: *Dicerorhinus kurmetiensis* (Байшашов, 1983) – один из крупных форм миоценовых лизерорин и *Chilotherium anderssoni*, ранее известный из верхнемиоценовых отложений провинции Шанси в Китае (Ringstrom, 1924). Кроме того, здесь обнаружены главным образом древние формы трагодерин, гиппариона и хищных, по своему эволюционному развитию соответствующие позднесарматскому времени (Тлеубердин, Байшашов, 1987). В основном здесь животные – обитатели лесостепных, пойменных участков.

Местонахождение "Гусиный перелет" (№ 2¹, рис. 9*) расположено на правом берегу р.Иртыш около Павлодара.

Разрез в местонахождении состоит из следующих основных отложений (рис.10).

1. Светло-зеленая, жирная толща глины с прослойками белого комковатого известняка и темными гумусированными линзами, опускающимися ниже уреза воды.

2. Охристо-желтые, среднезернистые пески с косой, волнисто-горизонтальной слоистостью; линзами суглинка... 8-10 м.

3. Прерывающиеся линзы мелко и среднезернистых, глинистых песков с розовато-серыми мергелистыми конкрециями, местами достигающие до 1 м (отложения с kostями мелких животных).

4. Красно-бурые глины с прослойками зеленовато-бурых плотных песчанистых глин, местами переходящих в плотные супеси. Нижняя часть интервала, где залегает основной костеносный горизонт (кости крупных животных), более насыщен карбонатом кальция... до 9 м.

5. Среднезернистые антропогенные пески буро-желтого цвета... 1-3 м.

Скопление костей крупных млекопитающих в разрезе зафиксировано на глубине 10-12 м в зеленовато-бурых глинах местами мощностью до 2 м. Крупные кости хорошей сохранности, часто в естественных сочленениях (черепа с нижней челюстью и отдельные суставы конечностей) залегают в нижних слоях выше встречаются более мелкие и обломанные кости. Преобладающее большинство находок костей принадлежит молодым особям (по черепам хилотериев они составляют около 65%). Кости без следов окатанности, что свидетельствует об их незначительном переносе водой. По-видимому, гибель животных происходила недалеко от места захоронения в долине реки или прилегающих к ней участках водоразделов. Трупы животных сначала частично разлагались или растаскивались хищниками и только затем соразмерно отлагались в нынешних захоронениях (в ямках или впадинах водоразделов).

Системы	Отложения	Мощность в м	слои
Q		1-3	5
N_2^1		до 9	4
N_2^2		до 1	3
N_1^3		8-10	2
	более	2	1

Рис.10. Разрез отложений местонахождения "Гусиный перелет". Для составления разреза использованы данные П.Ф.Савинова (1970) и В.С.Зыкина (1982)

По составу фауны местонахождение "Гусиный перелет" – одно из самых богатых, насчитывающих более 60 видов позвоночных: рыб, земноводных, пресмыкающихся, птиц, млекопитающих (Савинов, 1972). Хотя обнаруженные здесь животные являются представителями разных бистопов, преобладающее большинство из них – обитатели лесостепных и степных ландшафтов. Из носорогов отсюда известны *Sinotherium* sp. и *Chilotherium orlovi*. Характерная засушливость климата в начале плиоцена, вероятно, привела к скоплению у водоемов множества саванн, являлось одним из факторов их массовой гибели.

Стратиграфические исследования местонахождения "Гусиный перелет" можно разделить на следующие основные

22

этапы: 1) выделение В.В.Лавровым (1951, 1959) павлодарской свиты в местонахождении "Гусиный перелет", к которой также следует относить широко распространенные одновозрастные отложения Приаралья, Юго-Западной Сибири и Прииртышья. Возраст свиты определен второй половиной миоцене; 2) на основании изучения состава обнаруженной фауны (Бажанов, 1961), и коррелиации этих отложений другими из Казахстана и Индии (Бажанов, Костенко, 1964) нижне- и среднеплиоценовые слои были включены в верхнюю часть павлодарской свиты, которая была расширена до середины плиоцена; 3) в результате дальнейших исследований фауны М.Д.Бирюков, М.Е.Воскобойников и П.Ф.Савинов (1968) пришли к выводу, что возраст павлодарской свиты должен ограничиться лишь нижним плиоценом.

Местонахождение Тулькисей (Тульк.) (N_2^1 , рис.11*) расположено по левому притоку р.Аштасы в 25 км к юго-западу от Аркалыка.

Отложения местонахождения Тулькисай такие же, как на "Гусином перелете", только в первом захоронении полностью отсутствуют антропогенные пески, венчающие разрез, а также подстилающие слои охристо-желтых песков, четко фиксируемые в павлодарских слоях. Сохранность и характер залегания костей в обоих местонахождениях также сходны. Кости извлечены из толщи плотных, сильно загипсованных красно-бурых мергелистых глин, перекрывающих светло-зеленые глины араильской свиты. Цвет костеносного горизонта и наличие в них гипса свидетельствуют о высокой температуре во время осадконакопления этого захоронения и засушливости климата. Резкая аридизация климата, по-видимому, и привела к массовой гибели животных, которые периодически скапливались у оставшихся незначительных, в основном засоленных водоемов.

В результате многочисленных раскопок здесь выявлены животные, входящие в состав гиппариконовой фауны: *Hipparium elegans*, *Gazella deperdita*, *Samotherium irtishense*, *Sivatherium* sp., *Palaeotragus tulkensis*, *Tragocerus frivalsi* (Абрекманова, 1977), а также *Chilotherium cf. schlosseri*

(Байшашов, 1977), позже переопределенный нами как *Chilotherium orlovi* (Байшашов, 1982). Тулькисайский комплекс представлен видами характерными для двух биотопов: почивенной, лесостепной (жирафы, носороги, олени) и степной (гиппароны, газели, антилопы). Фауна местонахождения Тулькисай, как и "Гусиный перелет" по своему эволюционному развитию соответствует понтическому времени.

Местонахождение Калмакпай (К-й) (N_2^2 , рис.12³) расположено на правобережье р.Калмакпай, в 19 км восточнее пос. Пржевальский (Зайсанский район Восточно-Казахстанской области). Оно рассматривается в составе карабулакской свиты, датируемой средним плиоценом. В районе Зайсанской владины карабулакская свита с разрывом залегает на калмакпайской свите. Мощность отложений в обнажениях не превышает 60-80 м.

Подробный разрез карабулакской свиты описан Б.А.Борисовым (1963). Он состоит из следующих основных отложений (рис.13)

1. Глины красновато-коричневые, комковатые с прослоем коричневых, разнозернистых песков, с включением гравия и гальки ... 9 м.

2. Глины песчанистые, местами красновато-коричневые, комковатые с прослойями гравийно-галечных песков ... 21 м.

3. Пески глинистые, коричневато-желтые с прослойми валунно-галечного конгломерата и песчанистых глин ... 18 м.

4. Глины коричневато-желтые, в верхней части слоя песчанистые, местами комковатые с остатками млекопитающих ... 2 м.

5. Глины желтовато-серые, местами песчанистые с редкими включениями гравийно-галечных конгломератов .10

Костные остатки позвоночных в этом местонахождении приурочены к линзам. Сохраниность материала хорошая; иногда встречаются кости конечностей в естественных сочленениях. Полуразложившиеся трупы животных, скопившиеся в владинах, вероятно, заносились мощными, временными потоками рек, впадающих в озеро.

Рис.13. Разрез отложений местонахождения Калмакпай. Данные заимствованы из описания разреза Б.А.Борисова (1963)

Система	Отложения	Мощность в м	Слои
		10	5
		2	4
		18	3
N_2^{2-3}		21	2
		9	1

По данным В.И.Жегалло (Венус и др., 1980), в этом местонахождении обнаружены остатки *Crocuta ictitherium*, *Mastodons*, *Hipparium*, *Chilotherium*, *Sinotherium*, *Cervinae*, *Palaearctragus*, *Tragocerus*, *Gazella*. По мнению В.И.Жегалло (1978) и Е.Л.Дмитриевой (1977), присутствие в составе калмакпайской фауны *Hipparium hippidiodus* и *Gazella dorcodoides* свидетельствует о среднем плиоценовом возрасте имеющихся их отложений. Изучение костей носорогов из этого местонахождения позволило нам описать новый вид *Sinotherium zaisanensis* (Байшашов, 1986). Сравнение его с *S. lagrellii*, известным из верхнемиоцен-нижнеплиоценовых отложений провинции Шанси в Китае (Ringstrom, 1922), обнаруживает более прогрессивные признаки строения зубов, которые могут являться подтверждением среднеплиоценового возраста отложений Калмакпая.

3. СИСТЕМАТИЧЕСКАЯ ЧАСТЬ

Отряд *Perissodactyla* Owen, 1848

Подотряд *Ceratomorpha* Wood, 1937

Надсемейство *Rhinocerotoidea* Gill, 1872

Семейство *Rhinocerotidae* Owen, 1845

Подсемейство *Aceratheriinae* Dollo, 1885

Род *Aceratherium* Käup, 1832

Aceratherium depereti Borissiak, 1927

Табл. I-Ш*

Aceratherium depereti, Borissiak, 1927а, с. 769-786, табл. I, II

Материал. Колл. Музея природы (МП) ИЗ НАН РК. Черепа № 137, 138, 139/МП-75; нижние челюсти № 109, 137-1, 142, 143/МП-75; кости посткраниального скелета № 137-(1-75), 144-221/МП-75.

Диагноз. Череп длинный, узкий (отношение наибольшей лобной ширины к длине черепа 35-37%). Носовые кости длинные, занимают до 45% основной длины черепа. Скуловая дуга высокая, массивная. Нижняя челюсть длинная (496 мм), восходящая ветвь слабо наклонена вперед, угол ее между горизонтальной ветвью составляет 75-80°.

Описание. Череп длинный, узкий (см. диагноз). Носовые кости узкие, длинные. Надглазничные бугры массивные, шероховатые и несколько наливаются на орбиту. Лобные кости (*frontale*) между орбитами широкие и резко суживаются

как вперед к носовой кости, так и назад к затылочному гребню (*crista occipitalis*). На уровне суставных отростков лобно-теменные гребни сливаются и образуют высокий сагиттальный гребень. Затылочные гребни высокие, сверху образуют площадку с загнутыми назад краями, а в середине имеется небольшая выемка. Затылочная кость (*basioccipitale*) в середине узкая, верхняя часть вогнутая, а выше под самым затылочным гребнем у крылообразного расширения имеются две симметричные впадины. Внутренние стороны затылочных мышцелков (*condylus occipitale*) мощные, нижние края их заметно вогнуты, а по бокам сильно сужаются и оттягиваются вверх. Затылочное отверстие широкое и более открытое сверху. Скуловая дуга массивная, широкая. Ее верхний угол с медиально-загнутыми краями в виде отростка несколько вытянут назад. Передняя, более широкая часть постепенно опускается вниз и закрепляется с верхнечелюстной костью у корня заднекоренных зубов. Засуставный отросток крупный, в середине спаружи заметно утолщен (длина - 46 мм. ширина - 33 мм, толщина - 25 мм). Его конец крючкообразно загнут вперед и медиально. Заслуховой отросток, расположенный сзади, также загибается вперед и внутрь, образуя в середине округлое слуховое отверстие. Его верхний конец не соприкасается с задней стенкой засуставного отростка, а нижняя часть вытянута назад. Клиновидная кость (*os.sphenoidale*) сильно скошена, ее передняя часть направлена вверх. Крыло-видная кость (*pterygoideum*) крупная, с внутренней стороны гладкая, крючочки (*hamuli*) сильные, их края загнуты латерально. Передняя часть челюсти у премоляров немного загибается вверх, около 10-15° (табл. 1).

Нижняя челюсть длинная, массивная. Горизонтальная ветвь высокая, нижняя сторона прямая, впереди сужается, верхняя ее часть под корнями зубов заметно утолщена. Подбородочное отверстие (*formentale*), расположенное на наружной стороне горизонтальной ветви под Р₂, хорошо выражено. Симфизный отдел несколько загнут вверх. Зубной ряд спереди назад от наружного к внутреннему краю горизонтальной ветви скошен до 10°. Симфиз узкий, короткий,

*Диагноз приведен на основе описания А.А.Борисиак (1927а) и по материалам автора.

Таблица 1. Челюсти носорогов рода

№ п/п	Промеры и индексы	<i>A. depereti</i>	
		Кушук	
		№ 137- 139	по А.А.Bo- rissiak (1927а)

1	Длина от затылочного гребня до носовой вырезки	365-376	-
2	Длина от переднего края затылочного отверстия до переднего края P^1	465-470	500
3	Наибольшая лобная ширина	165-175	200
4	Длина лицевой части (от переднего края P^1 до средней линии, проходящей между postorbitalia)	215-230	-
5	Длина мозговой части (от средней линии, проходящей между postorbitalia, до середины затылочного гребня)	289-310	-
6	Наибольшая скуловая ширина	244	-
7	Длина косовых костей	210	280
8	Ширина затылочной кости вверху	90-92	-
9	Ширина носовых костей у носового выреза	80-84	-
10	Расстояние между носовым вырезом и передним краем орбиты	63-74	60
11	Наименьшее расстояние между теменными гребнями	5-8	5
12	Длина зубного ряда	244-245	258
13	Длина премоляров	111-113	130
14	Длина моляров	130-131	132
15	3:1	43,9-47,9	-
	7:1	55,8	-
	12:1	64,9-67,1	-

Aceratherium

<i>A.aralen-</i> <i>se</i> (Борисяк, 1954)	<i>A.gobi-</i> <i>ense</i> (Беляева, 1960)	<i>A.platy-</i> <i>odon</i> (Mermi- er, 1896)	<i>A.tetradac-</i> <i>tylum</i> (Mermier, 1896)	<i>A.incisi-</i> <i>vum</i> (Алексеев, 1915)
400	360	360	370	370
-	-	-	-	-
233	164	175	210	-
-	-	-	-	-
-	-	-	-	-
-	280	-	-	-
220	120?	220	170	135
115	90	-	-	-
100	91	100	-	70
70	71	55	65	84
30	5	-	-	33
247	-	220	255	275
112	-	110	120	-
125	-	-	-	-
58,2	45,5	48,6	56,7	-
55,0	33,3	61,1	45,9	36,4
61,7	-	61,1	68,9	74,3

Таблица 2. Нижние челюсти носорогов

№ п/п	Промеры и индексы	рода <i>Aceratherium</i>			
		<i>A.depereti</i> Кушук		A. gobiense М.Калкаман № 1/2-К	A.aralen- se (Борисяк, 1954)
		№ 109, 137-1, 142, 143	по А.А.Bo- rissiak (1927а)		
1	Длина нижней челюсти	486-525	-	500	460
2	Высота восходящей ветви до сочленового отростка	232-237	-	210	185
3	Расстояние между I ₂ изнутри	22-27	-	30	240
4	Ширина резцовой части снаружи на уровне альвеол	73-74	-	-	216-240
5	Расстояние между передними краями P ₂	53	-	77	30
6	Длина симфиза	100-114	-	-	96
7	Длина диастемы	56-68	-	97	-
8	Высота челюсти между P ₂ и P ₃	75-78	-	63	156
9	То же, между P ₄ и M ₁	84-94	65	68	54-60
10	То же, у M ₃	95-102	85	70	56-96
11	Ширина сочленовой поверхности в ее горизонтальной части	24-35	-	75	110
12	Длина сочленовой поверхности	61-75	-	80	80-130
13	Ширина восходящей ветви под сочленовыми отростками	-	-	81	-
14	Длина зубного ряда (у альвеол)	120-128	125	111	120-150
15	Длина премоляров P ₂ -P ₄	136-255	-	228	230-240
16	Длина моляров M ₁ -M ₃	92-113	108	101	200
17	2:1	134-143	136	125	209-265
18	6:1	45,1-48,3	-	105-110	72-120
19	10:1	18,5-21,7	-	125-130	126-145
20	4:6	18,2-20,4	-	124	44,4-51,4
21	7:6	64,9-81,1	-	40,2	55,8
		59,6-62,2	-	21,0	32,5?
			-	16,0	19,0-24,0
			-	17,6	61,5
			-	79,3	-
			-	64,9	38,4

задний его конец находится на уровне заднего края P_2 . Передняя (нижняя) часть симфиза к середине слабо вогнута, а верхняя сторона имеет узкую, глубокую впадину, края которой сильно заострены и образуют гребни, вытянутые от переднего конца P_2 до I_2 . Пара резцов (I_2) расположена близко друг к другу и направлена вперед а их верхние концы более загнуты вверх. Восходящая ветвь снизу широкая (148-163 мм), края угловой части сзади шероховаты и утолщены. Ее верхняя часть сзади с сильно загнутыми медиально краями несколько отклонена вперед и обращает по отношению к горизонтальной ветви более острый угол. Суставной отросток широкий и обращен вверх и несколько вперед (его ширина - 75-100 мм, толщина - 24-30 мм). Челюстное отверстие (*for mandibulare*) сравнительно крупное. Ямка жевательного мускула (*fossa masseterica*) более плоская, со слабо выраженным шероховатым выемками. На медиальной стороне хорошо выражена крыловая ямка (*fossa pterygoidea*), одноименные мышцы, прикрепляющиеся здесь, по-видимому, были мощными (табл. 2).

Верхние коренные зубы конусообразные, внутренние и наружные стенки их к основанию сильно расширяются и при стирании ширина зубов постепенно увеличивается. Угол отклонения верхней части с боков около 50-60°.

P^1 треугольной формы, снаружи дугообразно изогнут. Параптиль узкий и вытянут вперед. Внутренний конец протолофа загибается назад и примыкает к металофу. Внутренняя долинка округлая, а задняя - несколько вытянута медиально. Метадоф маленький, к середине сжатый.

P^2 четырехугольной формы. Эктолоф плоский, параптильная складка слабая, а параптиль заметно выступает вперед. Передняя сторона зуба несет небольшую выемку в виде передней долинки. Средняя долинка мелкая, треугольной формы и лингвально закрыта перемычкой, соединяющей протолоф с металофом. Кроше и антекроше не выражены. Задняя долинка мелкая, сзади открытая и несколько вытянута лингвально. На внутренней стороне зуба у входа средней долинки имеется низкий воротничок, охватывающий переднезадний угол параптиля.

P^3 четырехугольной формы. Параптиль несколько выступает за P^2 , параптильная складка хорошо выражена: Средняя долинка крупная, лингвально прикрыта перемычкой. Конец протолофа имеет едва заметный перешеек, который немного отделяет протолон. Задняя долинка сзади закрыта, внутренняя сторона ее суживается и заканчивается острым углом. Передневнутренний угол, как и у предыдущего зуба, имеет низкий воротничок. Внутренние образования протолофа и металофа отсутствуют.

P^4 короткий, параптиль длинный, параптильная складка хорошо выражена. Средняя долинка узкая, внутренняя сторона ее сверху открыта. Кроше и антекроше слабые, заметны в виде бугорков. Протолон слабо выражен. Задняя долинка сильно вытянута медиально и постепенно выходит к задневнутреннему углу зуба. Воротничок низкий, занимает передневнутреннюю часть зуба.

M^1 широкий, эктолоф гладкий. Параптиль маленький, параптильная складка хорошо выражена. Средняя долинка узкая, лингвально открыта. Кроше маленькое, антекроше короткое, но массивное. Протолон хорошо выражен. Задняя долинка сравнительно небольшая, также вытянута лингвально, как и у предыдущих зубов. Воротничок маленький, сохранился только на передней части зуба.

M^2 трапециевидной формы с сильно вытянутым передне-наружным углом. Параптиль сильный, параптильная складка хорошо выражена. Кроше и антекроше длинные. Протолон хорошо выражен, нижняя сторона его конусообразно расширяется. Задняя долинка сзади открыта, лишь снизу прикрыта низкой эмалевой складкой. На внутренней стороне зуба воротничок отсутствует.

M^3 треугольной формы. Эктолоф массивный, занимает наружнозадний угол зуба. Параптиль выражен в виде небольшого гребешка, параптильная складка крупная. Кроше слабое, при стирании зуба исчезает, а антекроше, наоборот, увеличивается и вытянуто лингвально. Передняя сторона зуба несет небольшой воротничок. Талон отсутствует (табл. 3).

Нижние коренные зубы массивные, сзади широкие, а спереди сильно сужаются. На P_3 и M_1 передние и задние внутрен-

Таблица 3. Верхние коренные зубы ксилорогов рода *Aceratherium*

Промеры и индексы	<i>A. deropelti</i>		<i>A.gobiense</i>	<i>A.aralicense</i>	<i>A.incisivum</i>
	Кулл. ИЗ НАН РК	Кулл. ИЗ По А.А.Во- ротинск (1927а)	Кулл. ИЗ НАН РК	(Борисяк, 1954)	(Алексеев, 1915)
P ¹	Длина Ширина Высота	23 20 1.8	24-30 19-22 1.1-1.7	- -	26 23
	Ширины к длине	86,9	73,3-79,1	-	-
P ²	Длина Ширина Высота	27-30 33-42 15-21	32-36 39-46 16-25	31-32 34-35 22-25	88,4 39 49
	Ширины к длине	122,2-140,0	121,8-127,7	109,3-109,6	134,6-140,7
P ³	Длина Ширина Высота	31-37 46-50 15-28	37-44 51-56 1.4-30	37-41 42-50 27-31	125,6 42 57
	Ширины к длине	135,1-148,3	127,2-137,8	113,5-121,9	135,4-150,0
P ⁴	Длина Ширина Высота	37-40 49-55 17-27	43-46 57-63 15-37	40-43 45-47 27-28	135,7 44 63
	Ширины к длине	132,4-137,5	132,5-136,9	109,3-112,5	147,2
	Длина	41-50	45-50	51-53	143,1
				41-45	50

Окончание табл. 3					
M ¹	Ширина Высота	52-56 1.4-25	56-60 15-37	50-53 30-33	58-59 25-26
	Ширины к длине	112,0-126,8	120,0-124,4	98,0-100,0	131,1-141,4
M ²	Длина Ширина Высота	42-54 51-60 15-33	47-55 58-61 19-40	52-53 51-51 32-40	148,0 51 59
	Ширины к длине	111,1-121,4	110,9-123,4	96,2-98,0	121,1-122,0
M ³	Длина Ширина Высота	44-56 45-58 17-41	54-61 53-57 24-38	48 41 36	115,6 47 52 -
	Ширины к длине	102,2-103,5	93,4-98,1	85,4	90,1-93,5
					110,6

ние долинки менее выражены, чем на P_4 и M_2 . У первых передние стенки метаконида вытянуты более вперед. В остальном же их строение одинаково, только размеры спереди назад постепенно увеличиваются. Параконид слабый, в виде небольшого бугорка выступает лингвально. Передняя внутренняя долинка маленькая, передняя стенка метаконида вытянута диагонально вперед. На внутренней стороне зуба имеется гребешок (складка), который начинается на нижней части метаконида, а заканчивается на верхушке параконида. Эта складка перекрывает переднюю долинку и при стирании постепенно отодвигается назад до полного исчезновения. Задняя внутренняя долинка у стенки гипоконида округлая, у входа сужается, по мере стирания зубов постепенно уменьшается. Вертикальная бороздка, расположенная между передним и задним полуулуниями, с наружной стороны мелкая. Энтоконид сравнительно уже и длиннее метаконида. Его задняя стенка, где примыкает параконид следующего зуба, слабо вогнута. Наружные стороны зубов снизу имеют слабый воротничок (на заднекоренных он менее выражен), который спереди у метапофиза и сзади у гипопофиза косо вытянут вверх. На M_3 жевательные поверхности сравнительно узки. Метаконид обращен к протокониду под прямым углом. Заднее полуулуние сравнительно узкое и расположено несколько ниже переднего. Воротничок слабый как и у предыдущих зубов (табл. 4).

Плечевая кость массивная, головка ее широкая и спереди выпуклая. Нижний суставной блок направлен под углом 60-70° вперед и около 30° медиально. Гребень разгибательных надмышелков значительно выступает латерально. Локтевая ямка (*fossa olecrani*) крупная, нижние надмышелки хорошо развиты (табл. 5).

Локтевая кость длинная, тонкая, полуулунный вырез массивный (табл. 6).

Лучевая кость слабо изогнутая, в середине тонкая с шероховатыми, расширенными эпифизами (табл. 7).

Пястные кости относительно длинные, тонкие, боковые пальцы в середине более прижаты к центральному (табл. 8).

Бедренная кость длинная и сравнительно узкая. Эпифиз нижнего конца резко утолщен. Мышелки обращены под углом 70-80° назад, межмышечковая ямка широкая и глубокая (табл. 9).

Таблица 4. Нижние коренные зубы *Ascodonysa* *gobienense*

Промеры и индексы	<i>A. depereti</i>			<i>A. gobienense</i>		
	Колп. ИЗ НАИ РК	по А.А.Вор- ришиак (1927а)	Колп. № 1/2-К	По Е.И.Беляевой (1960)	Колп. ИЗ НАИ РК	по А.А.Вор- ришиак (1927а)
P_2	Длина Ширина Высота	25-33 15-24 19-20 60,0-72,7	34 24 30 70,5	27 19 24 70,4	24-28 19-27	24-28 19-27
	Ширины к длине	84-39	37	35	79,1-96,4 32-33	-
P_3	Длина Ширина Высота	22-28 19-24 64,7-71,7	33 28 89,1	23 23 65,7	23-24 23-24	23-24
	Ширины к длине	36-41	39	36	71,8-72,7 35-39	-
P_4	Длина Ширина Высота	27-31 18-26 75,0-75,6	34 29 87,1	26 27 72,2	26-27 26-27	26-27
	Ширины к длине	38-45	40	41	69,2-74,2 34-40	-
M_1	Длина Ширина Высота	28-30 18-23 66,6-73,6	31 24 77,5	25 25 61,0	27-28 27-28 70,0-79,4	-
	Ширины к длине	43-48 28-30 19-25	47 32 25	43 43 26	38-41 23-25 28	-
M_2	Длина Ширина Высота	62,5-65,1 46-51	50 50	60,5 60,5	60,5-63,4 38-40 23-27	-
	Ширины к длине	25-27 18-26	32 26	44 24	24 24	-
M_3	Ширина Высота	52,9-54,3	64,0	54,5	60,5-67,5	60,5-67,5

Таблица 5. Плечевые кости *Aceratherium depereti*

№ п/п	Промеры и индексы	Кушук	
		32 МП-75	170 МП-75
1	Наибольшая длина	338	-
2	Ширина головки	125	-
3	Ее поперечник	46	-
4	Ширина верхнего эпифиза	156	-
5	Поперечник там же	114	-
6	Ширина диафиза	63	46
7	Поперечник там же	64	51
8	Наибольшая ширина нижнего эпифиза	127	108
9	Его поперечник	103	88
10	Ширина нижней сочленовой поверхности	95	82
11	Поперечник внутреннего отдела блока	74	65
12	То же, наружного	55	52
13	То же, в перехвате	30	38
	6:1	18,6	
	7:6	101,5	
	8:11	171,6	
	12:11	74,3	
	13:11	40,5	

Большая берцовая кость более прямая, часто сросшаяся с тонкой малой берцовой. Эпифизы заметно расширены, а суставные поверхности сравнительно глубокие (табл. 10).

Пяточная кость массивная, для сочленения с астрагалом имеет три фасетки (табл. 11).

Таранная кость более плоская, широкая, со значительно склоненными валиками блока. Нижние края последних ровные подблоковая впадина мелкая. Фасетка для ладьевидной кости широкая, а для кубовидной узкая и сильно склонена медиально (табл. 12).

Плюсневые кости тонкие, длинные, с сильно утолщенными эпифизами (табл. 13).

Таблица 6. Локтевые кости *Aceratherium depereti*

№ п/п	Промеры и индексы	Кушук	
		33 МП-75	415 115 59 62 78 62 37 27 27,7 51,3
1	Наибольшая длина		415
2	Переднезадний поперечник "олекранона"		115
3	Его ширина сзади		59
4	Высота полулунной вырезы		62
5	Ее наибольшая, ширина снизу		78
6	То же, в середине		62
7	Поперечник дистального эпифиза		37
8	Его ширина		27
	2:1		27,7
	3:2		51,3

Таблица 7. Лучевые кости *Aceratherium depereti*

№ п/п	Промеры и индексы	Кушук	
		34 МП-75	35 МП-75
1	Наибольшая длина	335	330
2	Ширина верхнего эпифиза	82	82
3	Его поперечник	74	68
4	Ширина по середине диафиза	54	50
5	Его поперечник	34	38
6	Ширина нижнего эпифиза	69	78
7	Его поперечник	61	53
	2:1	24,4	24,8
	4:1	16,1	15,1
	6:1	20,5	23,6

Сравнение. *A. depereti* отличается от поздне-олигоценового *A. aralense* Boriss. с Аральского моря (Борисяк, 1954) более сближенными, сзади соединяющимися теменными гребнями, слабо выраженными надбровными бугорками, лучше моляризованными переднекоренными, хорошо развитыми на них внутренними выступами протолофов и

Таблица 8. Пястные кости *Aceratherium depereti*

№ п/п	Промеры и индексы	A.depereti			
		Кушук			
		Mtc II 36 МП-75	Mtc III 37 МП-75	Mtc IV 38 МП-75	Mtc IV 39 МП-75
1	Длина кости	144	183	188	143
2	Ширина верхнего эпифиза	40	50	52	24
3	Его поперечник	36	43	46	38
4	Ширина по середине диафиза	29	45	44	26
5	Его поперечник	15	20	24	23
6	Ширина нижнего эпифиза	30	55	59	31
7	Его поперечник 2:1	31	37	43	35
	2:1	27,7	27,3	27,6	16,7
	6:1	20,8	30,0	31,3	21,6
	3:2	90,0	86,0	88,4	158,3
	7:6	103,3	54,5	72,8	112,9
	6:2	75,0	110,0	113,4	129,1

металюфов, относительно слабыми антакроше и более сильными кроше на заднекоренных зубах.

От раннемиоценового *A. platyodon* (Mermier, 1896) отличается отсутствием широких паристальных гребней, сравнительно небольшой выемкой затылочного гребня и более моларизованными переднекоренными зубами.

От среднемиоценового *A. tetradactylum* (Mermier, 1896) отличается узким черепом, длинными носовыми костями, слабо выраженным кроше и антакроше на коренных зубах.

От позднемиоценового *A. gobiense* (Беляева, 1960) отличается длинным черепом, массивными скелетальными дугами, длинными носовыми костями и симфизом нижней челюсти.

От поэднемиоценового *A. incisivum* Каир (Алексеев, 1915) отличается более широкими и длинными носовыми

Таблица 9. Бедренные кости *Aceratherium depereti*

№ п/п	Промеры и индексы	Кушук	
		62 МП-75	63 МП-75
1	Наибольшая длина	482	478
2	Ширина верхнего эпифиза	178	156
3	Поперечник головки	74	82
4	Ширина головки бедра	79	81
5	Ширина нижнего эпифиза	124	134
6	Поперечник нижнего эпифиза	138	146
7	Расстояние между сочленяющимися мышелками снаружи	109	126
8	То же, с внутренней стороны	38	45
9	Толщина тела на уровне третьего трохантера	49	50
10	Наибольшая ширина тела внизу 2:1	52	44
	3:4	36,9	32,6
	5:6	93,6	101,2
		89,8	91,7

Таблица 10. Большая берцовая кость *Aceratherium depereti*

№ п/п	Промеры и индексы	Кушук	
		66 МП-75	67 МП-75
1	Наибольшая длина	315	345
2	Поперечник верхнего отдела	91	93
3	Ширина верхнего эпифиза	111	108
4	Поперечник диафиза	54	47
5	Ширина диафиза по середине	49	50
6	Поперечник нижнего эпифиза	71	74
7	Ширина нижнего эпифиза	74	85
8	Ширина нижней суставной поверхности 3:1	69	73
	7:1	35,2	31,3
	8:7	23,4	24,6
		93,2	85,8

Таблица 11. Пяточные кости *Aceratherium depereti*

№ п/п	Промеры и индексы	A. depereti	
		Кушук	
		68 МП-75	69 МП-75
1	Наибольшая длина	101	104
2	Ширина пятого бугра	48	40
3	Высота пятого бугра	61	55
4	Ширина на уровне <i>sustentaculum</i>	70	65
	4:1	69,3	62,5
	2:3	78,6	72,7

Таблица 12. Таранные кости *Aceratherium depereti*

№ п/п	Промеры и индексы	A. depereti	
		Кушук	
		70 МП-75	71 МП-75
1	Наибольший поперечный диаметр	76	80
2	Поперечный диаметр сочленовых блоков	62	67
3	Переднезадний диаметр	49	50
4	Вертикальный диаметр	65	69
5	Вертикальный диаметр наружного блока	51	53
6	То же, внутреннего блока	50	52
	1:4	116,9	115,9
	2:1	81,5	83,7
	3:1	64,4	62,5
	5:4	78,4	76,8
	6:5	98,0	98,1

костями, расположением носового выреза назад ближе к орбите, сильным сближением теменных гребней, слабо развитыми внутренними образозакиями на коренных зубах.

Таблица 13. Плюсневые кости *Aceratherium depereti*

№ п/п	Промеры и индексы	A. depereti	
		mtt III	
		72 МП-75	73 МП-75
1	Длина кости	160	159
2	Ширина верхнего эпифиза	45	40
3	Его поперечник	41	40
4	Ширина по середине диафиза	43	39
5	Его поперечник	22	19
6	Ширина нижнего эпифиза	51	49
7	Его поперечник	35	32
	2:1	28,1	25,1
	6:1	31,8	30,8
	3:2	91,1	100
	7:6	68,6	65,3
	6:2	113,3	122,5

Геологический возраст. Нижний миоцен.

Местонахождение. Центральный Казахстан, правый берег р.Джиланчик , Кушук.

Aceratherium gobiense Belajeva, 1960

Табл. 1у*

Aceratherium gobiense, Беляева, 1960, с.111-120
рис. 2-5.

Aceratherium cf.gobiense, Байшашов, 1988.

Тип вида. Неполный череп из верхнего миоцена Баггер-Нур. Западный Гоби. ГИН РАН, № 915-1.

Диагноз. Череп узкий (отношение наибольшей ширины в склеральной области к длине черепа - 55%). Носовые кости умеренно длинные, в основании сравнительно широкие; их длина около четверти длины черепа, а ширина в основании не менее 3/4 их длины. Засуставный и заслуховой отростки

не слиты. Симфиз нижней челюсти короткий, длиной около 1/5 длины челюсти, его задний конец лежит против P_2 . Парастиль на верхнекоренных зубах длинный, паастильная складка глубокая, имеет хорошо выраженную посткроше.

Материал. Колл. ИЗ НАН РК, № 1/2-К, нижняя челюсть; № 1/3-28-К, верхние коренные зубы; № 1/51-К пяточная кость; № 1/52-К, таранная кость.

Описание. Нижняя челюсть (симфизная часть обломана) Горизонтальная часть спереди постепенно суживается и, начиная от уровня P_2 вперед, несколько загибается вверх. Ее толщина под заднекоренными 40 мм, переднекоренными - 35 мм. Восходящая ветвь слабо наклонена вперед, ее угол между горизонтальной ветвью составляет 85-86°. Внутренняя сторона ее по середине вогнутая, тонкая (6-7 мм). Ширина угловой части - 139 мм. Сочленовый отросток с наружной стороны узкий, его фасетка полукруглой формы обращена вверх, а на внутренней стороне по задней поверхности она вытянута вниз и обращена назад. Ее внутренние края на верхней части загнуты назад (см. табл. 2).

Верхние коренные зубы. P^2 трапециевидной формы. Эктолоф слабо выпуклый, паастиль треугольно выступает вперед, паастильная складка не резкая, в виде небольшой впадинки. Протолоф и металоф к лингвальному отделу зуба расширяются, становятся мощнее и снизу сливаются друг с другом. Кроше маленькое, антекроше отсутствует, протокон и гипокон не выражены. Средняя внутренняя долинка треугольной формы, лингвально открыта, задняя долинка узкая, сзади также открыта. На задневнутреннем углу зуба имеется обособленный небольшой узкий островок эмали (посткроше), соединяющийся с широким слоем эмали задней долинки и металофа. На внутренней стороне паастиля имеется маленькая округлая передняя долинка. Переднюю и внутреннюю стороны зуба окаймляет небольшой низкий воротничок.

P^3 и P^4 такие же, как P^2 , только крупнее, паастиль и ее складка лучше выражены, а передняя долинка отсутствует. Воротничок у протолофа прерывается. На P^4 кроше соединяясь с параконом, образует овальную добавочную долинку

M^1 и M^2 также трапециевидной формы. Эктолоф на середине изогнут. Паастиль крупный, отступая от эктолофа резкой складкой, он отодвинут от наружной стороны зуба. Кроше мощный, длинный, а антекроше маленькое; при стирании зубов увеличивается в размерах. Внутренняя долинка крупнее, чем на переднекоренных, заднюю сторону ее перегораживает присутствующий здесь посткроше. Небольшой воротничок имеется только на передней стороне зубов. Протокон слабый, при стирании более обособливается и увеличивается, а гипокон не выражен.

M^3 треугольной формы. Паастиль маленький, к концу заострен, паастильная складка не четкая. Кроше средней величины, антекроше так же, как и протокон, может выискиваться только при сильном стирании зуба. Внутренняя долинка широкая. На задней стороне эктолофа имеется снизу небольшой гребень - талсон.

Все зубы имеют по четыре довольно длинных (равных примерно длине нестертого зуба) корня. Они по бокам плоские, широкие (особенно передние), к концу заострены. Два внутренних между собой соединены, на заднекоренных с лингвальной стороны они разделены крупной бороздкой (см. табл. 3).

Нижние коренные зубы полностью соответствуют описанным из Монголии (Беляева, 1960) (см. табл. 4).

Пяточная кость массивная. Все три фасетки для астрагала разделены между собой. Верхнелатеральная фасетка сверху выпуклая, загнутая вверх и медиально, снизу сильно вогнутая и широкая, а нижнелатеральная плоская, верхние края ее к медиальному концу имеют округлую форму. Длина фасетки - 30 мм, наибольшая ширина - 11 мм. Медиальная фасетка эллипсоидной формы (2.0x25), в середине овальная. Фасетка для кубовидной кости, граничащая с медиальной фасеткой, под прямым углом поперечно вогнутая, сзади на средней части она небольшим выступом вытянута вниз. Длина фасетки - 35 мм, ширина - 18 мм (табл. 14).

Таранная кость среднего размера. Скошенность суставного блока хорошо выражена; наклон латерального блока в

отношении медиальной составляет $33\text{--}35^{\circ}$. Нижние края валиков ограничены сплошной неглубокой впадиной. По бокам суставные поверхности валиков значительно спускаются вниз, придавая хорошую устойчивость в сочленениях. С наружной стороны в центре валика имеется конусообразная глубокая выемка. Фасетка для пятончной кости по форме и размерам соответствует вышеописанным фасеткам на той же кости. Фасетка для ладьевидной кости повернута на $10\text{--}20^{\circ}$ медиально, по бокам она загнута вниз, а спереди и сзади вверх. Ее наибольшая ширина - 39 мм, переднезадний поперечник - 32 мм. Фасетка для кубовидной кости длинная (43 мм), сзади узкая (12 мм) (табл. 15).

Сравнение верхнекоренных зубов *A. gobiense* некоторыми другими видами рода: от *A. incisivum* (Каир, 1832) отличается небольшими относительно узкими верхнекоренными зубами, более глубокой пастильной складкой, хорошо выраженной "посткроше"; от *A. depereti* (Borissiak, 1927a) более моляризованными коренными зубами, длинным пастилем, хорошо выраженной пастильной складкой, широким протоконом, присутствием крупной кроше; от *A. aralense* (Борисяк, 1944) - длинным пастилем, развитием кроше на переднекоренных, сравнительно небольшой задней долинкой, которая вытянута продольно к оси зуба и открыта сзади (у *A. aralense* она продолговато вытянута поперечно и закрыта задней стенкой зубов).

Геологический возраст. Верхний миоцен.

Местонахождение. Павлодарская область, Малый Калкаман.

Таблица 14. Пяточные кости *Aceratherium gobiense*

№ п/п	Промеры и индексы	<i>A. gobien-</i>	<i>A. cf. gobien-</i>	
		se 1/51-К	761 73- ЦКТГУ	5431 72-Кар.
1	Наибольшая длина	102	96	92
2	Ширина пятончного бугра	43	40	43
3	Высота —	58	60	65
4	Ширина на уровне <i>sustentaculum</i>	70	64	74
	4:1		66,6	80,4
	2:3		66,6	66,1

Таблица 15. Таранные кости *Aceratherium gobiense*

№ п/п	Промеры и индексы	<i>A. gobien-</i>	<i>A. cf. gobien-</i>
		se 1/52-(a)	5432 72-Кар.
1	Наибольший поперечный диаметр	78	77
2	Поперечный диаметр сочленовых блоков	67	70
3	Переднезадний диаметр	52	52
4	Вертикальный	66	70
5	То же, наружного блока	50	64
6	То же, внутреннего блока	54	55
	1:4		110,0
	2:1		80,9
	3:1		67,5
	5:4		91,4
	6:5		85,9

Aceratherium cf. gobiense

Табл. У -XIII^{*}

Материал. Колл. ИЗ НАН РК. Ладьевидная кость запястья - № 5439/72-Кар.; полуулунная кость - № 5442/72-Кар.; трехгранная кость - № 5441/72-Кар.; трапециевидная кость - № 5440/72-Кар.; большая кость запястья - № 5437/72-Кар.; крючковатые кости - № 5438/72-Кар.; № 347/65-Г.; вторая пястная - № 5444/72-Кар.; третья пястная - № 5443/72-Кар.; четвертые пястные - № 5445/72-Кар.; № 777/73-ЦКТГУ; первые фаланги - № 5453, 5448, 5458/72-Кар.; вторые фаланги - № 5454, 5449, 5459/72-Кар.; третьи фаланги - № 5455, 5430, 5460/72-Кар.; сесамовидные кости - № 5456-57, 5446-47, 5451-52/72-Кар.; пяточные кости - № 5431/72-Кар., 761/73-ЦКТГУ; таранная кость - № 5432/72-Кар.; ладьевидная кость заплюсны - № 5433/72-Кар.; первая клиновидная кость - № 5436/72-Кар.; вторая клиновидная кость - № 5469/72-Кар.; третья клиновидная кость - № 5434/72-Кар.; кубовидная кость - № 5435/72-Кар.

Описание. Ниже приведены промеры костей запястья:

Ладьевидная кость № 5439/72-Кар.

Наибольшая высота кости спереди	52
То же, сзади	59,5
Ширина по середине кости	42
Наибольший поперечник	75
Длина фасетки для большой кости	27
Ее ширина	25
Длина фасетки для трапециевидной кости	28
Ее ширина в середине	25
Наибольшая ширина фасетки для полуулунной кости	40
Ее переднезадний поперечник	48

Полуулунная кость № 5442/72-Кар.

Наибольшая высота спереди	38
То же, ширина	32,5
Наибольший поперечник	58

Ширина верхней суставной площадки	32
Ее поперечник	30
Наибольшая длина фасетки для ладьевидной кости	18
Ее ширина в середине	10
Ширина фасетки для крючковатой кости	20
Ее поперечник	25

Трехгранная кость № 5441/72-Кар.

Наибольшая высота	45
Высота сзади	38
Наибольшая ширина	35
Переднезадний поперечник	38
Наибольший поперечник верхней суставной поверхности	32
Ширина нижней суставной поверхности	27
Ее поперечник	29

Трапециевидная кость № 5440/72-Кар.

Высота спереди	30
То же, сзади	29
Ширина в середине	27
Наибольший поперечник	37
Наибольшая ширина фасетки для "большой" кости	15,5
Ее поперечник	28
Ширина фасетки для mtc-II	22
Ее поперечник	28

Большая кость запястья № 5437/72-Кар.

Наибольшая ширина спереди	38
То же, высота	33
Высота в середине	47
Переднезадний поперечник	83
Поперечник бугорка	33
Ширина фасетки для ладьевидной кости	29
Ее поперечник	24
Ширина фасетки для mtc-III	38
Ее поперечник	46
Ширина фасетки для mtc-II	10
То же, сзади	6

Ее наибольший поперечник	29
Ширина фасетки	25
Ее поперечник	20
Ширина фасетки для трапециевидной кости	15
Ее поперечник	24
Крючковатая кость № 5438/72-Кар.	
Высота спереди	37
Наибольшая ширина	52
То же, поперечник	69
Ширина фасетки для трехгранной кости	31
Ее поперечник	29
Ширина фасетки для полуулунной кости	22
Ее поперечник (сверху)	21

Ладьевидная кость (*os scaphoideum*) высокая, по бокам выпуклая. Сзади сужена и вытянута в виде гребешка вверх, который составляет самую высокую часть кости (59,5 мм). Верхняя суставная поверхность для лучевой кости спереди выпуклая, в середине овальная, края передненаружной части высокие и по обе стороны загибаются вниз, а сзади опять поднимаются вверх. Ее передневнутренняя часть, которая опускается вниз, сочленяется с полуулунной костью. Нижняя суставная поверхность занимает две седлообразные фасетки, похожие друг на друга, которые в середине ограничиваются выступающим острым углом. Передняя фасетка - для большой запястной, задняя - для трапециевидной кости. Последняя слабо вытянута вверх и наружу, задняя сторона ее сужается и оканчивается острым выступом, а первая, на внутренней стороне, узкой к высокой полоской тянется вверх и немного назад. На внутренней стороне ближе к передней части расположена маленькая эллипсоидная фасетка для полуулунной кости, где нижняя сторона ограничивается прямым углом с фасеткой для большой запястной.

Полуулунная кость (*os lunatum*) сравнительно низкая, вытянутая назад и расширяющаяся спереди. Верхняя суставная поверхность для лучевой кости округлая. На медиальной стороне сзади она составляет тупой угол с фасеткой для

ладьевидной кости, а ниже ее расположена (тянущаяся по нижнему краю) другая фасетка для этой же кости. На латеральной стороне передненижнего угла находится овальная, обращенная вниз и несколько вбок фасетка для крючкообразной кости. В верхней стороне сзади эта фасетка составляет тупой угол с маленькой треугольной фасеткой для трехгранной кости. Внизу, под задним отростком, расположена изогнутая спереди назад, с острыми краями фасетка для большой запястной кости.

Трехгранный кость (*os triquetrum*) высокая, ее верхняя суставная поверхность для сочленения с локтевой костью протягивается диагонально с передневнутреннего угла до задненаружного. Спирожи ее края опускаются вниз, а с внутренней стороны срезаны прямым углом и соединяются с вертикально расположенной фасеткой для полуулунной кости. На задненаружном конце она под прямым углом граничит с фасеткой, вытянутой снизу вверх и обращенной назад, для гороховидной кости. Нижняя суставная поверхность для крючковатой кости округло-треугольной формы, ее передняя часть клювообразно выступает вниз, а задняя - между слабозаметными углами, тоже немного изогнута вниз, в связи с чем имеет овальную, сжатую с боков форму.

Трапециевидная кость (*os trapezoideum*) маленькая, наружная сторона выше внутренней. Верхняя фасетка для ладьевидной кости седлообразная, ее передняя сторона имеет прямоугольную форму, а задняя опускается вниз до 2/3 высоты кости. Нижняя фасетка более плоская, чем верхняя. На ее внутренней стороне в середине имеется суставная поверхность для большой запястной кости.

Большая кость (*os magnum*) крупная, вытянута спереди назад, сверху на середине имеется полукруглый, дискообразный выступ, на котором расположена суставная поверхность для полуулунной кости. На передней стороне сверху расположены две суставные поверхности: медиальная - для ладьевидной кости, спереди опускается вниз, передненаружный угол ее приподнят вверх, а задняя сторона постепенно протягивается назад и образует фасетку для трапециевидной кости и латеральная - для крючковатой кости, с внутренней стороны она

приподнята вверх и сливается с дискообразным выступом. Нижняя суставная поверхность для mtc III спереди широкая, в средней части овальная, а сзади суживается и ее конец слабо выгнут латерально. С внутренней стороны эта фасетка составляет прямой угол с фасеткой для mtc II, которая вытянута узкой полоской вдоль края фасетки для mtc III. Задний отросток склонен медиально.

Крючковатая кость (*os unciforme*) снизу широкая, внешняя сторона высокая. Нижняя часть здесь несколько вытянута, а по ширине постепенно сужается до верхней суставной поверхности, для трехгранный кости, которая перемещена ближе к медиальной части. Эта фасетка спереди назад окружная и на медиальной стороне граничит тупым углом с фасеткой для полулунной кости. Нижнюю суставную поверхность занимают винтообразно закрученные вверх и сливающиеся друг с другом четыре суставные фасетки. На медиальном конце вдоль переднего края имеется узкая (шириной до 12 мм) фасетка для большой запястной. Ее задние края резко сужаются и образуют треугольную впадину. Следующая фасетка для mtc III треугольной формы, за которой расположена более широкая и удлиненная фасетка для mtc IY. Задняя часть ее вдоль нижней поверхности заднего отростка загибается латерально, а передняя — немного выпуклая с боков. На латеральной стороне суставная поверхность тянется до верхнего края заднего отростка и сильно загибается назад. Она, по-видимому, служит для сочленения сrudиментом.

Пястные кости (табл. 16) Mtc II в середине слабо изогнут и короче mtc III. Верхняя суставная поверхность для трапециевидной кости овальная, передневнутренний угол ее вытянут вверх, а задняя сторона дугообразно опускается вниз. На медиальной стороне этой фасетки расположена суставная поверхность для большой запястной, длина которой 31 мм, а ширина в середине 9,5 мм. Ниже ее имеется такая же по форме, но в середине вогнутая фасетка для mtc II. Нижняя суставная поверхность спереди выпуклая, передне-задний поперечник ее относительно крупный. Наружная сторона дифиза (по отношению расположения кости) более узкая, чем внутренняя.

Таблица 16. Пястные кости *Aceratherium cf.gobiense*

№ п/п	Промеры и индексы:	A. cf.gobiense			
		Караганда		Кулан- Утпас	
		Mtc II	Mtc III	Mtc IY	Mtc IY
		5444	5443	5445	777
		72-Кар.	72-Кар.	72-Кар.	ЦКТГУ-73

1	Длина кости	141	160	126	135
2	Ширина верхнего эпифиза	41	56	30	32
3	Его поперечник	35	43	37	41
4	Ширина по середине эпифиза	33	41	28	-
5	Его поперечник	16	18	16	-
6	Ширина верхнего эпифиза	37	47	32	31
7	Его поперечник	38	40	36	36
	2:1	29,0	35,0	23,8	23,7
	6:1	26,2	29,3	25,3	22,9
	3:2	85,3	76,7	123,3	128,1
	7:6	102,7	85,1	112,5	116,1
	6:2	90,2	83,9	106,6	96,8

Mtc III сравнительно длинный, плоский и широкий. Ширина его постепенно увеличивается от верхнего до нижнего конца. Проксимальная суставная поверхность для большой запястной в виде отростка вытянута вверх и латерально. Наверху отростка расположена треугольная фасетка для крючковатой кости, ее задний конец слабо загнут вниз. Эта фасетка сзади составляет прямой угол с суставной поверхностью для mtc IY. На внутренней стороне фасетки большой запястной кости имеется небольшая, в середине выпуклая суставная поверхность для mtc II. Задняя часть фасетки для большой запястной кости в середине вытянута назад и вниз и загнута медиально на 80°. Эта часть на

наружной стороне ограничена острым углом с трапециевидной фасеткой для mtc IY. Нижняя суставная поверхность для первой фаланги слабо выпуклая, обращенная вперед и вниз, а задняя симметрично разделена вертикальным гребешком, где имеются фасетки для сезамовидной кости.

Mtc IY по сравнению с mtc II короткий, значительно суживается в середине и более изогнут латерально. Сверху расположена большая фасетка для крючковатой кости, удлиненная спереди назад, задний конец ее вогнут вниз. На внутренней стороне ограничивается прямым углом с фасеткой для mtc III. Спереди эта фасетка широкая, а сзади сужается и оканчивается острым углом. Ниже и сзади этой стороны находится вертикально вытянутая, эллипсоидная фасетка для mtc II, а между ними проходит желобок, направляемый вперед и вниз. Дистальный конец такой же, как у mtc II. Спереди ближе к медиальному краю на верхнем конце фасетки для первой фаланги имеется выступающий вперед маленький отросток (на mtc II эта часть обломана).

Пяточная кость (*os calcaneum*) короткая, массивная. Передний угол у верхнелатеральной фасетки представляет вогнутую, ладьевидную поверхность. На нижнем краю кости расположена узкая, удлиненная нижнелатеральная фасетка. Внизу под прямым, а на середине выступающим под острым углом она граничит с фасеткой для кубовидной кости. Медиальная фасетка овальная, расположена на конце "сустентакулярного" отростка. Пяточный бугор хорошо выражен, снаружи образует шероховато-выпуклый бугорок (см. табл. 14).

Таранная кость (*astragalus*) сравнительно небольшая, широкая. Валики блока скошены слабо. Длина большого валика на 8 мм меньше другого. На наружной стороне в центре большого валика имеется конусообразная выемка (глубина - 13 мм). Верхнелатеральная фасетка сверху овальная, в середине выпуклая, а внизу резко суживается. Медиальная фасетка, разделенная глубокой впадиной, имеет эллипсоидную форму, внизу через выступающий вниз бугорок она соединяется с ладьевидной фасеткой. Медиальная часть здесь несет треугольную впадину с небольшими ямочками и бороздками для прикрепле-

ния связки сустава. Нижнелатеральная фасетка узкая и на одинаковом расстоянии отделяется от верхнелатеральной и медиальной фасетки. Передние и задние края ладьевидной фасетки загнуты вверх, а посередине выпуклые. Длина и ширина этой фасетки почти одинаковы, задняя сторона ее скошена к медиальному углу кости. На латеральной части эта фасетка граничит со слабовыпуклой и вытянутой к задненаружному углу фасеткой для кубовидной кости (см. табл. 15).

Ниже приведены промеры костей заплюсны *Aceratherium cf. gobiense*.

Ладьевидная кость № 5433/72-Кар.

Высота спереди	23
сзади	26
Наибольшая ширина	42
Переднезадний поперечник	47
Ширина фасетки для таранной кости	36
Ее поперечник	39
Ширина фасетки для третьей клиновидной кости	29
Ее поперечник	37
Ширина фасетки для второй клиновидной кости	22
Ее поперечник	21
Диаметр фасетки для первой клиновидной кости	14

Первая клиновидная кость 5436/72-Кар.

Высота кости спереди	21
— сзади	34
Наибольший переднезадний поперечник	41
Ширина фасетки для ладьевидной кости	14
Ее поперечник	17
Ширина фасетки для mtt II	7
Ее поперечник	16

Вторая клиновидная кость № 5469/72-Кар.

Высота спереди	13
Ширина	22
Наибольший поперечник	30
Ширина фасетки для ладьевидной кости	16

Ее поперечник	16
Ширина фасетки для mtt II	19
Ее поперечник	22
Ширина фасетки для первой клиновидной кости	3,5
Ее поперечник	10

Третья клиновидная кость № 5434/72-Кар.

Наибольшая высота	22,5
Ширина спереди	36
Наибольший поперечник	42
Ширина фасетки для mtt III	26
Наибольший поперечник	36
Ширина передней фасетки для mtt II	10
Ее поперечник	14
Высота фасетки для кубовидной кости	11
Ее ширина	10

Ладьевидная кость (*os scaphoideum tarsi*) плоская, передний и задний края утолщены, а посередине тонкие. Поперечник кости длиннее ширины. Верхняя суставная поверхность четырехугольной формы, для таранной кости передняя и задняя части выступают вверх, а боковые направлены вниз. На нижней суставной поверхности расположены три фасетки. В переднем крае – крупная для третьей клиновидной кости, снаружи округленной формы, а внутренне-задний угол ее немного вытянут. Ближе к заднему концу – треугольная фасетка для второй клиновидной кости. Эти две фасетки находятся на одном уровне, а разделяет их едва заметная бороздочка. Фасетка для второй клиновидной кости сзади граничит под тупым углом с маленькой, округлой фасеткой для первой клиновидной кости. На внутренней стороне, ближе к заднему концу передней части выступа, расположена несколько выпуклая фасетка для кубовидной кости, которая в середине несколько выпуклая.

Первая клиновидная кость (*os cuneiforme I*) тонкая, наружная сторона ее плоская и слабошероховатая. Верхне-задний угол, выступающий на внутреннюю сторону, выпуклый. Фасетка для сочленения с ладьевидной костью округлая

и несколько овальная. Кость здесь несколько утолщена. Внизу имеется скошенная вверх и вовнутрь узкая, эллипсвидной формы фасетка для mtt II.

Вторая клиновидная кость (*os cuneiforme II*) плоская, треугольной формы, почти на половину тоньше, чем третья клиновидная. Верхняя суставная поверхность для ладьевидной кости, а нижняя, чуть выпуклая в середине, для mtt II. На внутренней стороне вдоль верхнего края тянется узкая фасетка для третьей клиновидной кости.

Третья клиновидная кость (*os cuneiforme III*) треугольно-продолговатой формы с округленными углами, с выемкой на середине внутренней стороны. Верхняя суставная поверхность для ладьевидной кости, а нижняя полуулитковидной формы – для mtt III. На задней стороне, вдоль верхнего края расположена узкая фасетка для второй клиновидной кости. На нижнем крае, ближе к передней стороне имеется маленькая, полукруглая фасетка для mtt II. На противоположной стороне имеется округлая фасетка для кубовидной кости. На внутренне-заднем углу верхнего края имеется вторая, маленькая фасетка (диаметром 7 мм) для кубовидной кости.

Кубовидная кость (*os cuboideum*) немного вытянута спереди назад и сзади клювообразно вниз. На ее верхней стороне параллельно расположены две фасетки, сплющенные с боков и вытянутые спереди назад, а в задней части в середине они разделены гребешкообразным бугорком. Медиальная – для таранной кости, внутренняя сторона ее слабо загибается и соприкасается с ладьевидной костью. Сзади с этой же стороны имеется овально-округлая фасетка для ладьевидной кости. Латеральная – для пятонной кости, ее задненаружный край под тупым углом загибается вниз. На нижней стороне расположена фасетка для mtt IV. На передне-внутренней стороне имеется маленькая, составляющая тупой угол с последней округлую фасетку для третьей клиновидной кости.

Первые фаланги (*phalanx-I*) массивные, с хорошо выраженными шероховатыми бугорками для прикрепления сгибательных и разгибательных мышц пальца. Верхние су-

ставные поверхности (для сочленения с пястной костью) в середине слабовогнутые. Въемки сагиттального гребня, нижнего валика метаподия нет. Фаланга среднего пальца симметричная, задний край верхней суставной поверхности в середине имеет небольшую выемку. Латеральные края фасетки слегка загнуты вниз, а на медиальной стороне прямые. Нижняя суставная поверхность для второй фаланги почти плоская, лишь передняя часть в середине немного вогнута и округло загибается вверх. Фаланги боковых пальцев асимметричны, наружные части их оттянуты назад. На задней стороне кости расположены два хорошо выраженных бугорка для прикрепления сгибательных мышц пальца. Нижняя суставная поверхность плоская, ее внутренняя часть короткая, а наружная — кизкая, вытянутая латерально назад, спереди загибается вверх и образует округло-выпуклую площадку. По отношению к верхней суставной поверхности нижняя обращена дистально-волярно, что создавало возможность значительного загибания пальцев вниз (табл. 1.7).

Вторые фаланги (*phalanx-II*). Фаланга центрального пальца короткая и широкая. Задняя часть верхней суставной поверхности плоская, передние края в середине загибаются вверх и разделяются на две симметричные, овальные фасетки. Нижняя суставная поверхность поперечно-округлая и обращена дистально-волярно, передние края ее загнуты вверх. Фаланги боковых пальцев асимметричные, наружные стороны вытянуты волярно-латерально, в связи с чем наружные части суставных поверхностей широкие и длинные. Верхние суставные поверхности плоские, передние края внутренней стороны несколько приподняты, а нижние суставные поверхности поперечно-изогнуты, обращены вниз и назад. Переднезадние поперечники наружных частей фасеток на 5–6 мм больше внутренних.

Третий фаланги (*phalanx - III*). Фаланга центрального пальца широкая, шероховатая, особенно хорошо выражена бугорчатость сзади проксимального конца для прикрепления сгибательных мышц пальцев. Верхняя суставная поверхность плоская, узкая, вытянута в боковом направлении. В середине она немного приподнята вверх, что особенно заметно на

Таблица 1.7. Промеры фаланг пальцев *Aceratherium cf. gobienense*

№ п/п	Промеры и индексы	2-го пальца			3-го пальца			32
		1-я фал.	2-я фал.	3-я фал.	1-я фал.	2-я фал.	3-я фал.	
		5458 72-Кар.	5459 72-Кар.	5455 72-Кар.	5448 72-Кар.	5449 72-Кар.	5450 72-Кар.	
1	Наибольшая длина	28	21	32	31	21	32	
2	Ширина троксималь- ная	32	33	45	50	45	47	
3	Поперечник там же	21	25	23	33	24	23	
4	Ширина верхней су- ставной поверхности	27	30	32	40	38	39	
5	Ее поперечник	25	20	28	27	20	18	
6	Ширина дистальная	30	28	54	40	41		
	2:1	114,2	166,6	140,6	161,2	214,2	146,8	
	3:2	65,6	71,4	51,1	66,0	53,3	48,9	
	6:2	93,7	80,0	120,0	80,0	91,1		

задних краях фасеток. Фаланги боковых пальцев шероховатые, наружные края дистального конца вытянуты назад и по отношению к верхней суставной поверхности в середине разделены поперечным бугорком. Наружная (большая) часть в середине овально вытянута назад и в боковую сторону, а внутренняя — округло-овальной формы; на задней стороне имеется хорошо выраженный, выступающий назад бугорок.

Сезамовидные кости (*os sesamoidea*) сохранились полностью. Кости центрального пальца крупные, края дугообразно изогнуты вверх, сзади узкие. Фасетка для третьей пястной вогнута спереди назад, а боковые края оттянуты вниз. Наружная ее часть по сравнению с внутренней более вытянута вниз и в сторону. На передней стороне в середине она граничит с очень маленькой, округлой фасеткой для первой фаланги. Нижняя сторона кости неровная, наружная часть гребешкообразно выступает вниз, а сзади в середине имеет выступающий бугорок. Сезамовидные кости боковых пальцев маленькие, фасетка для пястной плоская, однако ее внутренние края загнуты вниз для соприкосновения с сагиттальным гребнем. Нижняя сторона кости спереди округлая, а к заднему концу постепенно поднимается и суживается. Наибольшая длина костей центрального пальца — 42–43 мм, боковых — 30–33 мм, длина фасетки — соответственно 29 и 20–23 мм, ширина — 19–20 и 14–16 мм, поперечник в середине — 22 и 16–17 мм.

Замечания. Найденные остатки представителей рода *Aceratherium* в слабоизученных верхнемиоценовых отложениях Казахстана несомненно заслуживают внимания. Детальное описание костей конечностей, обнаруженных в естественных сочленениях, имеет большое значение, тем более, что дистальные отделы конечностей ацератериев почти не изучены. Возможное сравнение описанных костей с некоторыми из Малого Калкамана и Бэгер-Нур указывает на их сходство.

Геологический возраст. Верхний миоцен.

Местонахождение. Окрестность Караганды (Кар.), район шахты № 1; Карагандинская область (Ко), правый берег р. Кулан-Утпас у могилы Буркитпай и соахоза "Нуринский".

Подсемейство *Teleoceratinae* Hay, 1902

Род *Brachypotherium* Roger, 1904

Brachypotherium aurelianense var.

gailiti Borissiak, 1927

Голотип. № 1401/399, ПИН, череп; Казахстан, Амангельдинский район, р. Джиланчик; нижний миоцен.

Диагноз. Носовые кости короткие, на конце их имеется шероховатость. Симфизный отдел спереди слабо расширен. Параптильная складка на коренных хорошо выражена, но параптиль короткий. Внутренние образование протолофов на переднекоренных не развиты, а на заднекоренных — слабо развиты.

Геологический возраст. Нижний миоцен.

Местонахождение. Центральный Казахстан, Тургайская область. Амангельдинский район, правый берег р. Джиланчик, Кушук.

Род *Chilotherium* Ringstrom, 1924

Chilotherium orlovi Bayshashov, 1982

Табл. XIУ–XXIX^х. Рис. 14–16

Chilotherium schlosseri: Беляева и др., 1962 с. 329, рис. 431–433. *Chilotherium cf. schlosseri*:

Байшашов, 1977, с. 62–74, табл. I–III. *Chilotherium orlovi*:

Байшашов, 1982, с. 72–83, табл. 1.

Голотип. № 2802–03, ИЗ НАН РК, череп с нижней челюстью; Павлодар, "Гусиный перелет", нижний плиоцен.

Диагноз. Череп и нижняя челюсть длинные. Носовые кости короткие (отношение их длины к основной длине черепа — 26,1%). Параптильные гребни умеренно широкие (наименьшее расстояние между ними — в среднем 60,0 мм), сверху плоские, у молодых всегда имеется впадина, вытянутая от середины затылочного гребня до носовых костей. Кронки зубов низкие, в основном широкие (отношение ширины к длине — в среднем 124,5%), а у P^1 и M^3 относительно узкие (индекс 84,2 и 92,8%). Кроющие и энтекости на верхнекоренных хорошо развиты, а параптиль и метаптиль слабо выражены. Симфиз нижней челюсти длинный (около

134 мм), спереди широкий и более загнут вверх. Челюстной угол выражен слабо ($100-110^{\circ}$). Медиальная фасетка астрагала овальная и часто вытянутая в нижней части. Метаподии сравнительно крупные, а их нижние эпифизы узкие.

Описание черепа взрослое особи, коренных зубов и их подробное сравнение с другими видами были приведены ранее (Байшашов, 1982).

Череп молодой особи и его возрастные изменения (табл. XX⁴). Лобная часть черепа более вогнута, чем у взрослой особи. Теменные гребни широкие и значительно выступают, образуя в середине хорошо выраженную впадину (особенно сзади в области теменной кости), самое близкое расстояние между ними — 34–44 мм. Носовые кости короткие, занимают 18–20% длины черепа. Расстояние между носовым вырезом и передним краем орбиты — 67–77 мм. Наибольшая лобная ширина — 118–129 мм. Затылочная часть черепа невысокая, середина затылочной кости клевообразно вытянута назад. Скуловая дуга спереди высокая, сзади резко сужается, суставная поверхность для нижней челюсти сзади выпуклая. Боковые края затылочной кости тонкие и сильно выступают назад и латерально. Подглазничное отверстие хорошо выражено и находится на уровне носового выреза, а переди него, около 15 мм, часто присутствует второе такое же отверстие.

Верхние молочные премоляры (табл. 18).
 Pd^1 маленький, треугольной формы. Эктолоф спереди выступающий. Передняя парастильная часть вытянута вперед, с внутренней стороны образует треугольную лопасть, где задняя стенка несет тонкую пластинку протолефа. Медиальная часть ее (протоком) утолщается и загибается назад, закрывая при этом вход внутренней долинки. Гипокон на слабо-стертых зубах высокий, сверху острый. Криста маленькая, выражена в виде гребешка у внутренней стенки эктолофа. Задняя долинка сзади закрыта низким воротничком.

Pd^2 грапециевидной формы. Эктолоф плоский, его средняя часть снаружи несколько выпуклая. Парастиль отсут-

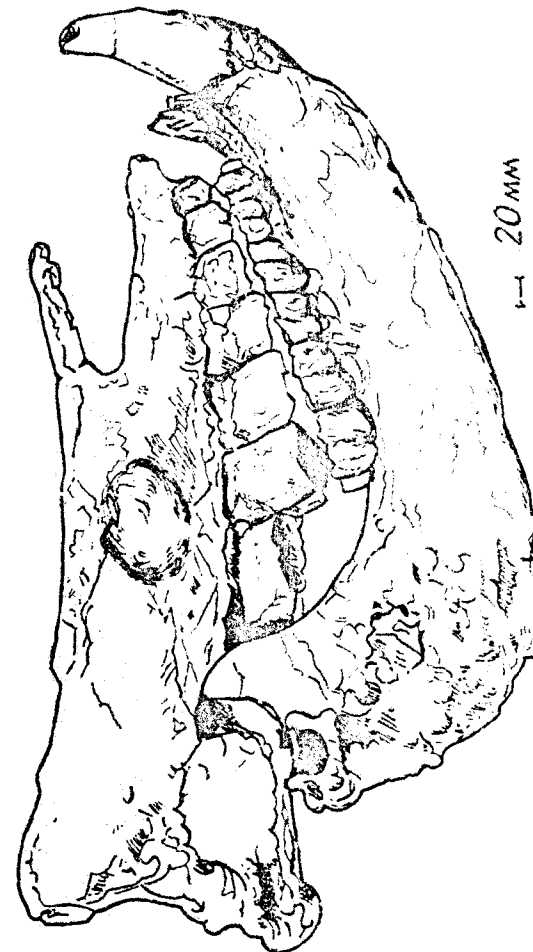


Рис. 14. *Chilotherium orlovi*; Bayashashov, 1982; череп с нижней челюстью; паводар; нижний пиногей
 № 2802-03/76-II; голотип